

大阪大学工学部 正員 堀木 亨
大阪大学工学部 正員 後野 正雄
神戸市役所 正員 岩橋 哲哉

1. 概説 海洋構造物等の鉛直円柱部材に働く衝撃波力に関しては冲波碎波波力を対象とした研究が数例報告され、また現在も研究が進められその特性が明らかになりつつある。しかし構造物の構成部材である静水面上に設置された水平円柱に関しては、非碎波の波による円柱と水面の繰返し衝突により衝撃的かつ強大な波力の発生が考えられるにもかかわらず、Kaplan & Silbert¹⁾, Sarpkaya²⁾らのわずかに報告例があるのみで、その実態は明らかではない。この水平円柱に作用する衝撃波力は静止水面への円柱の著体問題を応用したモデルが与えられている。そこで本研究では、水平円柱に作用する非碎波の波による衝撃波力の実態を実験的に明らかにし、この理論モデルの適合性についても検討を加えた。

2. 実験装置および実験条件 本実験で使用した円柱は波力計と一体化されたもので、直径7.0cm、長さ25cmの鋼製円柱である。波力計は幅1cm、厚さ6mmの半リング状になり端部に設けられた受感部の歪を計測することにより波力を求める。この波力計は1方向の力だけを計測しうるものであることから、図1に示すように円柱に衝突する波面の法線方向の力のみが計測可能である。またこの円柱の相対設置高さ z/h は0.3~1.0（ z : 静水面から表面とセンサーの接触点までの高さ、 h : 表面高）に変化させ、そのときの相対水深 h/L =0.05~0.09、海底勾配 $1/15$ 、水深に対する表面高さの大きさを表す相対波頂高 $z/h=0.3\sim 1.0$ という条件で実験を行なっている。この場合相対波頂高からわかるように碎波に近い波を対象としている。

3. 実験結果および考察 a) 衝撃波力の時間変化特性と著体問題との比較

実験より得られた波力時間曲線の一例を図2に示す。図中実線は実測値、点線はKaplan & Silbertによる理論値である。これによると波力は作用開始後数ミリ秒程度の短かい時間で立ち上がり最大値に達する衝撃的波力であり、本実験の範囲では1cm幅当たり最大460gの強大な衝撃波力が認められる。この立ち上がり時間は理論では表されないものである。また理論による衝撃波力の最大値は次のように表される。

$$F = \frac{\pi}{2} \rho v^2 D \quad (1) \quad (F: \text{単位幅に作用する衝撃波力}, D: \text{円柱径}, \rho: \text{密度}, v: \text{表面の法線方向速度(表面速度と呼ぶ)})$$

これを变形すると無次元衝撃波力は以下のように求められる。

$$\frac{F}{\rho g D} = \frac{\pi}{2} \cdot \frac{v^2}{g D} \quad (2)$$

そこで無次元衝撃波力と無次元表面速度との関係を示したのが図3である。図中の○は実測値、実線は(1)式を示す理論値、点線は本実験における上限値を示している。なお表面速度はフィルム解析による実測値を用いている。このグラフを見る限り、実測値は理論式で算定される衝撃波力よりも大きく、波動場による物体と自由表面との衝突現象に著体問題を適用することは、危険側の値を与えるものであると言えよう。

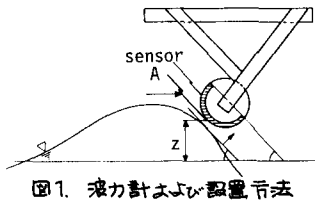


図1. 波力計および設置方法

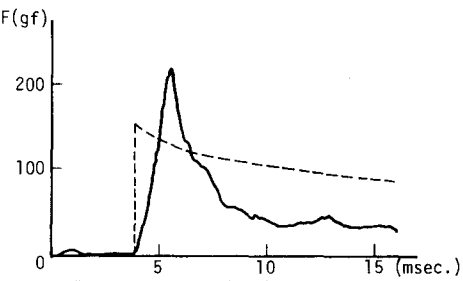


図2. 衝撃波力の時間変化

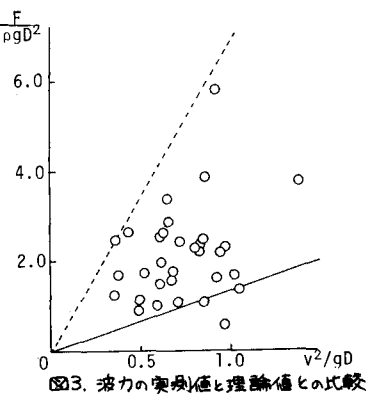


図3. 波力の実測値と理論値との比較

b) 衝撃波力に影響をよびす諸量 上述のように水平円柱に作用する衝撃波力は、落体問題を応用した理論ではうまく表現できないので、ここでは波動場の特性を表す種々のパラメータの影響について考慮を加える。そこで次元解析によて無次元のパラメータを考え、実験条件を考慮すれば衝撃波力は最終的に次式で示される関数形となる。

$$\frac{F}{\frac{1}{2}\pi\rho ghD} = f(T/h, \frac{z}{h}, \frac{n}{h}, Re, We) \quad (T: 周期, Re, レイノルズ数, We: ウェーバー数)$$

以上のうち Re, We は実験条件からほぼ一定とみなせる。したがって衝撃波力を支配するパラメータは $T/h, z/h, n/h$ となる。

図4は無次元衝撃波力と無次元周期 T/h の関係を示したもので、図中の記号は他の2つのパラメータが一定であり、周期のみが変化していることを表している。これによると無次元周期が大きくなるにしたがって無次元波力のはらつきが大きくなる傾向を持つが、周期の衝撃波力に与える影響は顕著ではない。これは波動理論からみても本実験の場合、相対水深が小さい範囲で行われているので、波形として孤立波に近い形となり周期の効果が小さいためと考えられる。

無次元衝撃波力と相対設置高さ z/h の関係を示したもののが図5であり、相対波頂高 n/h によって分類している。本実験の範囲内では、相対波頂高にかかわらず z/h が大きくなるにしたがって衝撃波力のはらつきは小さくなる、またその値も小さくなる傾向がある。これは波頂附近で最大値をとる水粒子速度の鉛直分布からは説明できない現象である。次に図6は無次元衝撃波力と相対波頂高 n/h の関係を示したものであり、 n/h によって分類している。これによると相対設置高さにかかわらず相対波頂高が大きくなる程、衝撃波力は大きくなるという定性的傾向を示す。しかし図5、図6を見る限り z/h と多くの2つのパラメータだけで衝撃波力の明確な表示は難しいと思われる。そこでこの2つに独立で波の非対称性を表示するパラメータとして、図1 A点における孤立波理論による表面の勾配 θ と奥行き θ の比 $\tan\theta/\tan\theta_T$ を考えた。このパラメータが大きいほど波の非対称性は大きいことを示す。図7は縦軸に無次元衝撃波力、横軸に z/h をとり $\tan\theta/\tan\theta_T$ の分類で示してある。図より明らかに非対称性の大きい波の方が z/h にかかわらず大きい衝撃波力を示すことがわかる。

以上のように水平円柱に作用する衝撃波力の算定においては、落体問題に置き換え、速度の関数のみで評価することは設計時には危険側となることが多い、波の非対称性の大きさも強い影響を与えることがわかる。しかしながら本実験の範囲は碎波点近傍の波に限られており、今後浅海から深海までのより広い範囲の研究が必要となるであろう。

①Kaplan & Silbert: Impact Forces on Platform Horizontal members in splash zone, O.T.C, 1976
②Sarpukaya: Wave Impact Loads on Cylinder, O.T.C, 1978

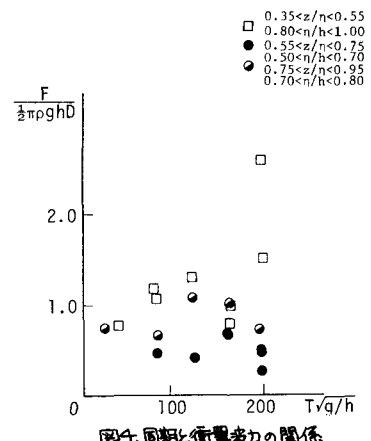


図4. 周期と衝撃波力の関係

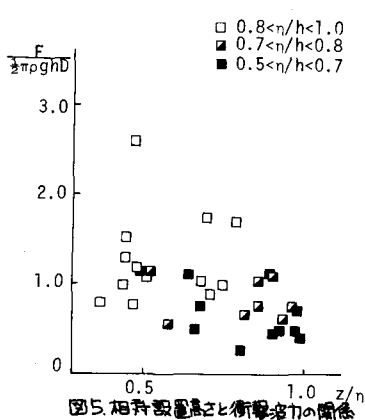


図5. 相対設置高さと衝撃波力の関係

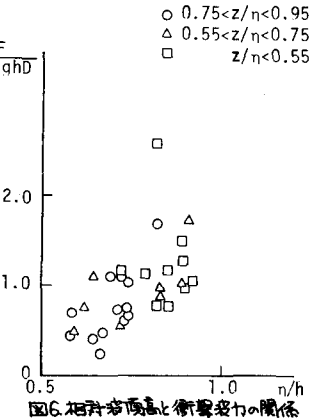


図6. 相対波頂高と衝撃波力の関係

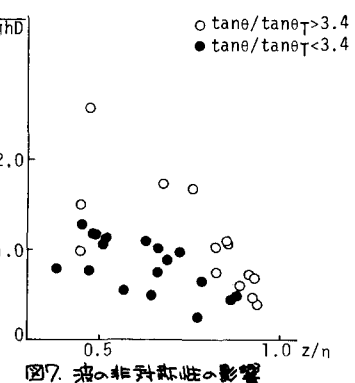


図7. 波の非対称性の影響